

будто в низкомолекулярных фракциях взаимодействия не происходит. Это можно объяснить частичным протеканием процессов деструкции (как в олигомерных макромолекулах, так и эфирных фрагментах) во время взаимодействия.

Согласно предыдущим исследованиям [4, 5], этому свидетельствует уменьшение в показателях молекулярных масс соевого масла, состоящего из природных триглицеридов (сложных эфиров глицерина с ненасыщенными жирными кислотами) после её высокотемпературной обработки.

Наконец, значительная разница в среднемолекулярных масах двух фракций всех образцов конечных продуктов оказывает влияние на общие показатели, которые меняются в интервале  $M_w = 1823-2267$ ,  $M_n = 572-749$ . Общая полидисперсность принимает более высокие значения и меняется в интервале 2,76–3,18. В общем, выявлены и ниже приведены закономерности:

- по мере уменьшения функциональности спиртов и степени этерификации образцов многоатомных спиртов, показатели общих среднемолекулярных масс конечных продуктов на их основе, в основном, уменьшаются (за исключением случая, где используется этиловый спирт);
- конечный продукт состоит из двух фракций: низкомолекулярной и высокомолекулярной;
- отдельные фракции обладают более узкими, а конечный продукт более широким ММР;
- высокомолекулярные фракции более реакционноспособны, вероятно, это связано с высокой функциональностью;

- анализ полученных результатов позволяет предположить протекание реакций деструкции и окисления наряду с модификацией олигомеров со сложными эфирами.

## Литература

1. Burmistr M.V., Boiko V.S., Lipko E.O. et al. Antifriction and Construction Materials Based on Modified Phenol-Formaldehyde Resins Reinforced with Mineral and Synthetic Fibrous Fillers // Mechanics of Composite Materials, 2014, V.50, №2, p. 213-222
2. Yuan Xin-hua, Shao Mei-xiu, Chen Min et al. Preparation and heat endurance of phenolic resin modified with linseed oil // Jiangsu Univ. Natur. Sci., 2006, V.27, №3, p. 234-236
3. Yuan Xin-hua, Chen Min, Shao Mei-xiu et al. Investigation of phenolic resin modified with linseed oil and used for producing of the friction material // Polym. Mater. Sci. Technol., 2006, V.22, №6, p. 181-183, 187
4. Амираланова М.Н., Мустафаев А.М., Рустамов Р.А., Ибрагимова М.Дж., Исаева П.Э., Алиева Ш.Р., Ахмедбекова С.Ф. Азотсодержащиеmonoалкил( $C_8-C_{12}$ )ФФО, привитые с природными триглицеридами, в качестве защитных покрытий // Положительное решение № 20140051 (24.06.2014).
5. Амираланова М.Н., Алиева Р.В., Бекташи Н.Р., Мустафаев А.М., Рустамов Р.А., Алиева Ш.Р., Исаева П.Э. Исследование молекулярно-массового распределения азотсодержащих mono алкил( $C_8-C_{12}$ )фенолформальдегидных олигомеров и продуктов их модификации с соевым маслом методом гель-хроматографии // Автогазозаправочный комплекс+алтернативное топливо, 2014, Т.82, №1, с. 30-35

УДК. 541.64

## Физико-химические свойства привитых сополимеров коллагена и фибронина с полиакриловой кислотой

*С.Х. КАРИМОВ, Н.Д. НАБИЕВ, А.С. РАФИКОВ*

Ташкентский институт текстильной и легкой промышленности, г. Ташкент, Узбекистан  
sskarim80@mail.ru

Определены некоторые физико-химические свойства синтезированных привитых сополимеров коллагена сырой кожи и фибронина натурального шелка с полиакриловой кислотой. Установлена зависимость растворимости, плотности и термических свойств сополимеров от соотношения компонентов и условий синтеза.

**Ключевые слова:** коллаген, фибронин, акриловая кислота, привитой сополимер, ДСК-анализ.

Identify some the physic-chemical properties of the synthesized graft copolymers of collagen crude skin and fibroin natural silk with polyacrylic acid. The dependence of solubility, density, and thermal properties of the copolymer and the component ratio of the synthesis conditions.

**Keywords:** collagen, fibroin, acrylic acid, graft copolymer, DSC analysis.

### Введение

Среди различных способов совместной полимеризации особое значение имеет привитая сополимеризация, как метод синтеза композиционных высокомолекулярных веществ и материалов [1–13]. Установление закономерностей получения, физико-химических и механических свойств привитых сополимеров природных полимеров с функционально-активными мономерами, с учетом специфических свойств полимерных композиций, является актуальной проблемой химии и технологии полимеров. Ранее проведены исследования за-

кономерностей и механизма синтеза привитых сополимеров и по получению армированных пленок на основе коллагена и полиакриловой кислоты [14–16]. Настоящая работа посвящается определению зависимости растворимости, плотности и термических свойств сополимеров от соотношения компонентов и условий синтеза, процессов происходящих при нагревании сополимеров.

### Экспериментальная часть

Объектом исследования является коллаген, полученный из отходов шкуры животных, натуральный шелк, акриловая

кислота (АК), персульфат калия (ПК). Синтез привитого сополимера коллагена осуществляли в трехгорлой колбе, снабженной мешалкой, термометром и обратным холодильником в токе азота. Раствор коллагена, акриловую кислоту (АК) и ПК загружали в колбу, перемешивали в термостате. Фибронин натурального шелка освобождался от серницина путем отварки в мыльно-содовом растворе. Синтез привитого сополимера фибронина осуществляли в ампулах при постоянной температуре. Расчетное количество волокон фиброна, предварительно выдержаных в растворе ПК, АК и растворителя загружали в ампулу, продували инертным газом, запаивали и ставили в термостат. По достижении определенного времени колбу или ампулу вынимали из термостата, охлаждали до комнатной температуры, реакционную смесь выливали в стакан с этианолом. Остаточный мономер и гомополимер растворяются в этианоле, а сополимер не растворяется. Полученный сополимер несколько раз промывали этианолом и сушили до постоянной массы в эксикаторе.

Плотность сополимеров коллагена и полиакриловой кислоты (ПАК) определяли пикнометрическим методом, термические свойства исследовали методом дифференциально-термического анализа (ДТА) в интервале 0–900°C. Сополимер фибронина с ПАК исследован методом дифференциально-сканирующей калориметрии (ДСК). Термоаналитические исследования сополимеров проводились на приборе Netzsch Simultaneous Analyzer 409 PG (Germany), с термопарой К-типа (Low RG Silver) и алюминиевыми тиглями. Все измерения были проведены в инертной азотной атмосфере со скоростью потока азота 50 мл/мин. Температурный диапазон измерений составлял 0–560°C, скорость нагрева равнялась 10 К/мин. Количество образца на одно измерение 20–30 мг. Измерительная система калибровалась стандартным набором веществ  $\text{KNO}_3$ , In, Bi, Sn, Zn, CsCl.

#### *Результаты и их обсуждение*

Сополимер коллагена с акриловыми мономерами представляет собой пластическую массу желтоватого цвета, набухает в воде и органических растворителях. При степени превращения до 20–25% полученный продукт растворяется в воде и диметилформамиде, не растворяется в этианоле, диоксане, ацетоне, углеводородах. На плотность продукта влияет как состав сополимера, так и условия его получения (таблица).

По данным таблицы с увеличением доли ПАК и концентрации ПК уменьшается плотность сополимера. Это связано с двумя факторами: появлением трехмерной структуры при больших содержаниях ПАК и увеличением частоты межмолекулярных связей; повышением доли полимера с меньшей плотностью.

**Таблица. Зависимость плотности привитых сополимеров коллагена от состава и условий получения.**

Состав сополимера		Концентрация ПК при синтезе, моль·л <sup>-1</sup> · 10 <sup>2</sup>	Температура синтеза, °C	Плотность, г·мл <sup>-3</sup>
Коллаген	ПАК			
88	12	0,38	60°C	1,138
74	26	1,12	60°C	1,125
65	35	1,87	60°C	1,117
57	43	1,12	60°C	1,112
74	26	1,12	50°C	1,128
74	26	1,12	70°C	1,123

Уплотнение сополимера косвенно свидетельствует об образовании сетчатой структуры при достаточной степени превращения и достаточного содержания синтетического полимера.

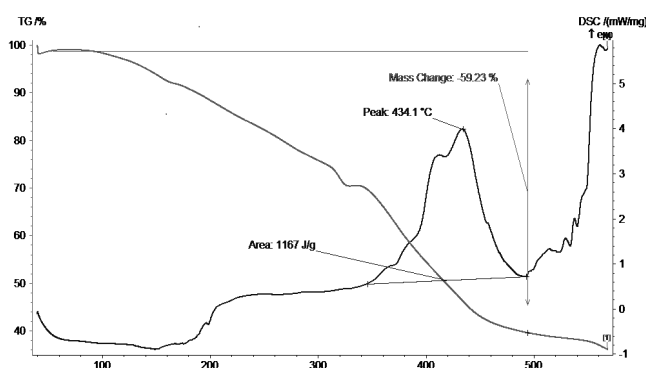
Сняты дифференциально-термические кривые коллагена, сополимера коллагена с ПАК. Характер кривых термограви-

метрии (ТГ), ДТА и дифференциальной термогравиметрии (ДТГ) определяется в основном коллагеновым составляющим.

Потеря массы образца коллагена и его сополимера с АК начинается при температурах выше 100°C. Интенсивная потеря массы коллагена начинается при температуре 280°C, а его сополимера при температуре 230°C. Небольшая потеря массы (до 8%), происходящая с незначительным поглощением теплоты, в интервале 100–230°C (с наибольшей скоростью при 172°C для коллагена и при 137°C для сополимера коллаген-ПАК) соответствует улетучиванию связанной воды. Интенсивная потеря при дальнейшем повышении температура связана с разложением белковых макромолекул коллагена и привитых цепей ПАК для сополимера. Потеря массы в интервале 284–425°C (с наибольшей скоростью при 337°C) сопровождается небольшим эндотермическим эффектом, что свидетельствует о плавлении и разложении образца, улетучивании низкомолекулярных веществ. Причем 50%-ная потеря массы коллагена и его сополимера с ПАК наблюдается при 340–350°C.

Можно заметить два экзотермических максимума на кривых ДТА, при 500 и 660°C для коллагена и при 505 и 820°C для его сополимера с ПАК. Видимо в этой области температур происходят процессы сшивания и окисления остатка полимера. Причем для сополимера в области 550–800°C кривая ТГ остается горизонтальной, т.е. не происходит потеря массы в этом интервале. Наличие цепей ПАК приводит к снижению начала температуры интенсивной потери массы, но сеточная структура сополимера способствует уменьшению потери массы при более высоких температурах. Кривые ДТА коллагена и его сополимера с ПАК не имеют определенных максимумов или минимумов от базовой линии, позволяющих определить температуры фазовых переходов.

При нагревании фибронина в интервале от 100 до 340°C происходит равномерное уменьшение массы образца с незначительным эндотермическим эффектом (рис. 1). В этом интервале теряется около 30% массы в результате разложения с выделением низкомолекулярных продуктов. В интервале от 340 до 500°C потеря массы сопровождается экзотермическим эффектом. В этом интервале происходит процессы циклизации и сшивки в результате взаимодействия функциональных групп фибронина с выделением воды, амиака и других низкомолекулярных продуктов.



**Рис. 1. ДСК анализ фибронина натурального шелка.**

Тепловой эффект процесса  $\Delta H = 1167 \text{ Дж/г}$ . Общая потеря массы до температуры 500°C составляет 60%. На кривой ДСК не обнаружены максимумы или минимумы, соответствующие фазовым переходам. Видимо, при нагревании фибронин разлагается в аморфном состоянии и без плавления.

При сравнении данных ДСК анализа сополимера фиброна с ПАК можно заметить некоторые различия и схожесть (рис. 2).

Сополимер фиброна и ПАК теряет массу с начала нагревания, к 160°C масса образца уменьшается на 7%. Начальная потеря массы сопровождается эндотермическим эффектом с минимумом при 56,5°C. Видимо, это связано с улетучиванием растворителя, связанного с сополимером. Кривая ТГ сополимера изменяется более равномерно, чем такая же кривая фиброна. При 200°C сополимер имеет около 10% потери массы, тогда как, при этой температуре потеря массы фиброна составляет более 15%.

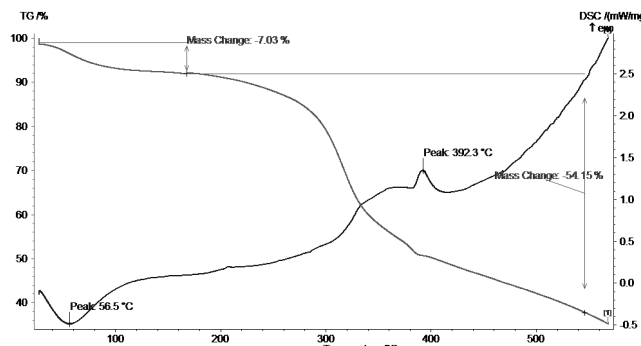


Рис. 2. ДСК анализ сополимера фиброна натурального шелка и ПАК

При 250°C потеря массы сополимера составляет 13%, а потеря массы фиброна – 20%. При температуре 300°C масса сополимера и фиброна уменьшается примерно одинаково – на 30%. При дальнейшем увеличении температуры фиброн теряет массу более интенсивно, к 500°C потеря массы фиброна составляет 60%, а потеря массы сополимера – 50%.

Экзотермический пик сополимера фиброна и ПАК многое менее интенсивный, чем такой же пик фиброна. Причем, для сополимера максимум этого пика наблюдается при более низкой температуре. На кривой ДСК сополимера обнаружено широкое отклонение от базовой линии в сторону эндотермического процесса при 260–279°C. Видимо, в этом интервале температур происходит частично плавление сополимера за счет ПАК.

Полученные результаты показывают, что в фиброне уменьшается количество функциональных групп после участия в привитой сополимеризации. Соответственно уменьшается общая потеря массы до 250°C. Сополимер имеет сетчатую структуру, поэтому циклизация и сшивка макромолекул происходит менее интенсивно, соответственно с меньшим тепловым эффектом.

#### Выводы

Физико-химические свойства привитых сополимеров коллагена и фиброна натурального шелка с ПАК зависят от состава, строения и условий получения. С увеличением степени прививки и соответственно частоты сеток сшитого строения повышается плотность и термоустойчивость сополимера. Плавление коллагена происходит при температуре

172°C, сополимера коллагена с ПАК – при более высокой температуре. При нагревании фиброна фазовые переходы не наблюдаются, они разлагаются не расплавляясь. В сополимере фиброн-ПАК наблюдается незначительный эндотермический процесс, свидетельствующий о частичном плавлении образца. При более высоких температурах происходит интенсивная потеря массы сополимеров, сопровождающийся экзотермическим пиком кривой ДСК, в результате реакций сшивания и циклизации с выделением низкомолекулярных продуктов. Полученные результаты подтверждают сетчатую структуру привитых сополимеров природных волокон с функционально-активными мономерами, будут использованы в прогнозировании свойств текстильных материалов на их основе.

#### Литература

- Kolya H., Tripathy T. // J. Appl. Polym. Sci. 2013. 127, № 4. P. 2786-2795.
- Okieimen F.E. // J. Appl. Polym. Sci. 2003. 89, №4. P. 913-923.
- Hong Kyung Hwa, Liu Ning, Sun Gang. // Eur. Polym. J. 2009. 45, №8. P. 2443-2449.
- Gao K.-J., Li G., Shi H., Lu X., Gao Y., Xu B.-Q. // J. Polym. Sci. A. 2008. 46, №14. P. 4889-4904.
- Luo H., Hu L., Zhu Y., Wu Y., Zhang S., Fan Y., Ye G.J. // Appl. Polym. Sci. 2013. 127, №1, P. 675-681.
- Zhong Jin-Feng, Chai Xin-Sheng, Fit Shi-Yu // Carbohydr. Polym. 2012. 87, №2, P. 1869- 1873.
- Способ получения коллагенсодержащей матрицы для иммобилизации биологически активных веществ. Пат. 2478299 Россия. Титов Е.И., Апраксина С.К., Митасева Ю.Ф. и др.; Заявл. 27.05.2011; Опубл. 10.04.2013.
- Васильев М.П. Коллагеновые нити, волокнистые и пленочные материалы. Монография. СПб.: СПГУТД, 2004. 397 с.
- Vereatiuc L., Busevchi M.D., Popa M., Alupei I.C. // Eur. Polym. J. 2003. 39, №1. P. 1501-1508.
- Songmin Shang, Lei Zhu, Weiguo Chen, Lingmin Yi, Dongming Qi, Lei Yang. // Fibers and Polymers. 2009, V.10. P. 807-812
- Lei Yang, Wen-wen Liu, Hui Jiang, Li-zhan Zhou, Peng Sun, Yi-feng Shen // Fibers and Polymers. 2013, V.14. P. 875-885
- Ferrero Franco, Periwallo Monica, Luraschi Marco // J. Appl. Polym. Sci. 2007. 103, № 6. P. 4039-4046.
- M.K.Mishra. //Colloid and Polymer Sci. 1982, V. 260. P. 508-510
- Каримов С.Х., Ибрагимов А.Т., Рафиков А.С., Аскаров М.А. // Пластические массы. 2013, № 8. С. 50-52
- Каримов С.Х., Тохиров Р.Ш., Абдувохидов Д.А. и др. // Мат. междунар. науч.-практ. конф. "Новое в технике и технологии текстильной и легкой пром.", Витебск, 2013. С.122-124
- Каримов С.Х.. Набиев Н.Д, Рафиков А.С. // Узбекский химический журнал. 2015. №2, С. 23-26